



بررسی فعالیت اکسیدانی و بهینه‌سازی تولید آب فعال شده با پلاسمای سرد

آزاده رنجبر ندامانی^{۱*}، علی تقوی^۲، الهام رنجبر ندامانی^۳

- ۱- استادیار گروه مهندسی بیوپریستم، دانشکده مهندسی زراعی، دانشگاه علوم کشاورزی و منابع طبیعی ساری، ساری، ایران.
- ۲- دانشجوی کارشناسی ارشد فناوری‌های پس از برداشت، گروه مهندسی بیوپریستم، دانشکده مهندسی زراعی، دانشگاه علوم کشاورزی و منابع طبیعی ساری، ساری، ایران
- ۳- دکترای شیمی مواد غذایی، کارشناس تحقيق و توسعه کاله، آمل، ایران

چکیده

اطلاعات مقاله

آب فعال شده با پلاسمای سرد به عنوان یک جایگزین غیرسمی و دوستدار محیط‌زیست معرفی و کارایی خود در برابر طیف گسترده‌ای از عوامل بیماری‌زا از جمله باکتری‌ها، ویروس‌ها و قارچ‌ها را نشان داده است. در این پژوهش از آب شهری برای فعال‌سازی توسط دستگاه مولد پلاسمای سرد با استفاده از یک راکتور پلاسما شامل الکترودهای مسی و فولادی، ولتاژ 20 kV جریان 3 mA با کمک هوای اتمسفر استفاده شد. برای تولید آب فعال شده، طرح آزمایشات توسط نرمافزار دیزاین اکسپرت ورژن ۱۲ در قالب طرح باکس-بنکن با فاکتورهای زمان تیمار با پلاسما (۰ s ، ۱۵ s و ۳۰ دقیقه ، سرعت تزریق هوای $۰/۵\text{ m/s}$)، $۱/۵$ و $۱/۱$ و دمای نگهداری آب فعال شده با پلاسمای سرد (۰°C ، ۴°C و ۲۰°C) اجرا شد. قبل از استفاده، ویژگی‌های آب از جمله میزان پراکسید هیدروژن، اکسیژن، سختی کل، ازن، نیترات، نیتریت و کلر اندازه‌گیری شد. این ویژگی‌ها طی مدت روزهای ۱ ، ۲ ، ۳ و ۶ نیز مورد آزمون قرار گرفتند. نتایج نشان دادند تمام فاکتورهای مورد مطالعه بر نتایج مورد بررسی اثر معنادار داشتند. اثر مقابل این فاکتورهای نیز در برخی موارد اثر معنادار کاهشی و یا افزایش بر نتایج داشتند. به طور کلی مشخص شد دمای نگهداری محیط، زمان تیمار بیشتر با پلاسمای سرد، و سرعت هوای 1 m/s می‌تواند آب فعال با ویژگی‌های اکسیدانی بهتری را تهیه کند. شرایط بهینه تولید آب فعال شده نیز عبارت بود از زمان تیمار $۲۳/۵$ دقیقه با پلاسمای سرد، سرعت هوای $0/۹۷\text{ m/s}$ و دمای نگهداری ۲۰°C .

تاریخ های مقاله :

تاریخ دریافت: ۱۴۰۳/۸/۲۴

تاریخ پذیرش: ۱۴۰۳/۱۲/۲۱

کلمات کلیدی:

آب فعال شده،

پلاسمای سرد،

دیزاین اکسپرت،

پراکسید هیدروژن

DOI: 10.22034/FSCT.22.161.214.

* مسئول مکاتبات:

a.ranjbar@sanru.ac.ir

۱- مقدمه

مواد غذایی به حداقل می‌رساند (Guo et al., 2021; Xiang et al., 2022).

مطالعات اخیر نشان داده است که PAW می‌تواند به طور مؤثر پاتوژن‌های مختلف مسئول بیماری‌های ناشی از غذا را غیرفعال کند. به عنوان مثال، گوو و همکاران (۲۰۱۷) دریافتند که PAW می‌تواند ساکارومایسس سرویزیه CICC 1374 را از سطح انگور بدون تغییر قابل توجهی در رنگ سطح و محتوای آنتوسیانین پس از ۳۰ دقیقه کاهش دهد (Guo et al., 2017) علی و همکاران (۲۰۲۱) نشان داد مایع فعال شده با پلاسمما (PAL)^۲ به علاوه محلول بافر فعال شده با پلاسمما (PABS)^۳ باعث کاهش آفت‌کش‌های کلروتالوئنیل و تیرام در میوه گوجه‌فرنگی شد (Ali et al., 2021). لیو چنگ هوی و همکاران (۲۰۲۰) اثر PAW تولید شده در ۷ کیلوهترنر با ۶، ۸ و ۱۰ کیلو ولت را بررسی کرد. آنها گزارش کردند که PAW می‌تواند باکتری‌های هوازی، کپک‌ها، مخمرها و کلیفرم‌های سطح برش‌زده سبب فوجی را کاهش دهد (C. Liu et al., 2020) و همکاران (۲۰۲۰) دریافتند که غاظت پراکسی نیتروس اسید (ONOOH) در PAW با پراکسید هیدروژن برهمنکش دارد و اسید پراکسی نیتریک (O₂NOOH) را تولید می‌کند که بعداً به O₂⁻ و O₂¹ تجزیه می‌شود. این ترکیبات مسئول افزایش اثرات ضدباکتریایی PAW هستند (Ma et al., 2020).

تحقیقات همچنین نشان داده است که ترکیب منحصر به فرد PAW می‌تواند کاربرد آن در مراحل مختلف تولید مواد غذایی از شستشوی محصولات تازه گرفته تا ضدغوفونی کردن تجهیزات و سطوح فراوری مواد غذایی را تسهیل کند. تطبیق پذیری PAW به این معنی است که می

در سال‌های اخیر، صنایع غذایی به طور فزاینده‌ای به دنبال راه حل‌های نوآورانه برای افزایش ایمنی مواد غذایی، افزایش عمر مفید و به حداقل رساندن استفاده از افزودنی‌های شیمیایی بوده است. یکی از فناوری‌های امیدوارکننده که مورد توجه قرار گرفته است، آب فعال شده با پلاسمما (PAW)^۱ است. این نوع آب، با استفاده از پلاسمای سرد تولید می‌شود و حاوی گونه‌های واکنش‌پذیری مانند رادیکال‌ها، یون‌ها و ازن است که می‌توانند ویژگی‌های فیزیکوشیمیایی آب را تغییر دهند. مشخص شده است که این تغییرات اثرات ضد میکروبی و آنتی اکسیدانی آب را افزایش داده و آن را برای کاربردهای مختلف در فراوری مواد غذایی قابل استفاده می‌سازد (Han et al., 2023; Herianto et al., 2021).

افزایش تقاضای جهانی برای روش‌های فراوری مواد غذایی ایمن‌تر و پایدارتر، نیاز به جایگزینی برای روش‌های سالم‌سازی و نگهداری مرسوم را ایجاد کرده است. روش‌های سنتی اغلب بر ضدغوفونی کننده‌های شیمیایی تکیه می‌کنند که ممکن است بقایای مضری از خود به جای بگذارند و نگرانی‌های مصرف کننده در مورد ایمنی مواد غذایی و حفظ محیط‌زیست را افزایش دهند. در این زمینه، PAW به عنوان یک جایگزین غیررسمی و دوستدار محیط‌زیست ظاهر شده است و کارایی خود در برابر طیف گسترده‌ای از عوامل بیماری‌زا از جمله باکتری‌ها، ویروس‌ها و قارچ‌ها را نشان داده است (Guo et al., 2017; Hadinoto et al., 2021; Julák et al., 2018; Rathore et al., 2021; Xiao et al., 2023). استفاده از PAW تغییراتی در صنایع غذایی ایجاد می‌کند که راستای فرآوری‌های دوستدار محیط‌زیست بوده و اتکا به مواد شیمیایی مضر را با حفظ استانداردهای ایمنی

3 -Plasma-Activated Buffer Solution

1 -Plasma- Activated Water

2 -Plasma-Activated Plasma

این طریق می‌باشد. با استفاده از یک راکتور پلاسمای شامل الکترودهای مسی و فولادی، ولتاژ 20 kV جریان 3 mA با کمک هوای اتمسفر تولید و با نمونه برخورد می‌کرد.



شکل ۱- دستگاه مولد پلاسمای سرد

Figure 1- Cold- Plasma Emitter Machine

طرح آزمایشات توسط نرم‌افزار دیزاین اکسپرت^۴ و رژن ۱۲ در قالب طرح باکس-بنکن با فاکتورهای زمان تیمار با پلاسمای 0.0 و 30 دقیقه، سرعت تزریق هوای 0.5 m/s ، $1/15$ و دمای نگهداری آب فعال شده با پلاسمای سرد 20°C ، 20 و -20°C) طبق جدول ۱ اجرا شد. در این پژوهش از آب شهری برای فعال‌سازی استفاده شد. زیرا در بررسی مقالات مشخص شده است استفاده از آب مقطر در فعال‌سازی نقشی نداشته و برای این کار تاکنون از آب شیر استفاده شده است (Han et al., 2023; Hoeben et al., 2011; Hou et al., 2021; Traylor et al., 2011).

جدول ۱- طرح باکس-بنکن برای تولید نمونه‌های PAW

Table 1- Box-Behnken Design for producing the PAW samples

Run	Cold- Plasma time (min)	Air Velocity (m/s)	Storage Temperature (°C)
1	30	0.5	0
2	0	1.5	0
3	15	0.5	-20
4	0	1	-20
5	30	1	-20
6	0	1	20
7	15	1	0
8	30	1	20
9	15	1.5	20
10	15	1	0

توان آن را در پروتکل‌های ایمنی مواد غذایی موجود ادغام کرد و در نتیجه بهداشت کلی را بدون سرمایه گذاری اضافی در فناوری‌های جدید افزایش داد (Al-Sharify et al., 2020; Milhan et al., 2022; Xiao et al., 2023) (Hou et al., 2021; Wong et al., 2023; Zhao et al., 2020; Zhou et al., 2018). به عنوان مثال، در فرآوری میوه‌ها و سبزیجات تازه برباد شده، PAW در کاهش بار میکروبی و در عین حال حفظ کیفیت و ویژگی‌های حسی محصولات، نویدبخش بوده است (Hou et al., 2021; Wong et al., 2023; Zhao et al., 2020; Zhou et al., 2018).

علی‌رغم ویژگی‌های امیدوارکننده PAW، تحقیقات بیشتری برای درک کامل شرایط بهینه برای تولید آن، مانند مدت زمان تیمار پلاسمای سرد در آب، شرایط تخلیه پلاسمای سرد و دمای ذخیره‌سازی PAW موردنیاز است. در این مطالعه، تأثیر برخی شرایط تولید و نگهداری بر فعالیت PAW مورد بررسی قرار خواهد گرفت.

۲- مواد و روش‌ها

:PAW تولید

برای تولید PAW از دستگاه مولد پلاسمای سرد ساخته شده در مرکز رشد دانشگاه علوم کشاورزی و منابع طبیعی ساری (شکل ۱) استفاده شد. این دستگاه شامل بخش مولد پلاسمای سرد و بخش نگهداری نمونه است که قادر به تولید پلاسمای سرد و تماس مستقیم نمونه با هوای یونیزه شده از

جدول ۱- طرح باکس-بنکن برای تولید نمونه‌های PAW

11	15	1	0
12	30	1.5	0
13	15	1	0
14	0	0.5	0
15	15	1.5	-20
16	15	1	0
17	15	0.5	20

جدول ۲ تحلیل آماری اثر فاکتورهای مورد مطالعه زمان تیمار با پلاسمای سرد، سرعت هوای ورودی، زمان نگهداری و دمای نگهداری آب فعال شده با پلاسمای سرد را در سطح ۵٪ ($p < 0.05$) نشان می‌دهد. طبق این جدول، اثر زمان پلاسمای سرد (۰، ۱۵ و ۳۰ دقیقه) بر روی پاسخ‌های نیترات و سختی کل معنادار بوده است. سرعت هوای ورودی (m/s) و سختی کل معنادار بوده است. سرعت هوای ورودی (۰/۵، ۱/۰ و ۱/۵) بر نیتریت و سختی کل معنادار بوده است. دمای نگهداری (۰°C، ۲۰ و ۴۰) بر سختی کل معنادار بوده و در نهایت روزهای نگهداری (۱، ۲، ۳ و ۶ روز) اثر معناداری بر همه فاکتورها به جز نیتریت و ازن داشته است. این یافته نشان می‌دهد فاکتورهای مورد مطالعه توانسته‌اند اثر معناداری بر کیفیت و میزان فعالیت گونه‌های فعال تولید شده طی تیمار با پلاسمای سرد شوند.

جدول ۲- تحلیل ANOVA اثر معناداری فاکتورهای مورد بررسی بر روی پاسخ‌های مورد مطالعه

تعیین ویژگی‌های شیمیایی آب

قبل از استفاده، ویژگی‌های آب از جمله میزان پراکسید هیدروژن (کیت Karizab 4436)، اکسیژن (کیت Arak Chemical Eng. Co. AK 3060)، سختی کل (Arak Chemical Eng. Co. 3096)، ازن (Chemical CO. Arak) (Arak Chemical Co. 3020)، نیتریت (Arak Chemical CO. 3015) و کلر (Chemical Co. 3015) اندازه‌گیری شد. این ویژگی‌ها طی مدت روزهای ۱، ۲، ۳ و ۶ نیز مورد آزمون قرار گرفتند.

تجزیه و تحلیل آماری

کلیه آزمون‌ها در سه تکرار انجام و تجزیه و تحلیل آماری با استفاده نرم‌افزار SPSS ورژن ۲۰ با کمک آنالیز واریانس با آزمون توکی برای تعیین میزان معنی‌داری انجام شد. مقدار p کمتر از ۰/۰۵ از نظر آماری معنی‌دار در نظر گرفته شد.

نتایج و بحث

Table 2- ANOVA analysis for the effect of factors on studied results

		Cold-Plasma Time (min)				
		Sum of Squares	df	Mean Square	F	Sig.
Nitrate	Between Groups	204.118	2	102.059	3.626	0.032
	Within Groups	1829.764	65	28.150		
	Total	2033.882	67			
Nitrite	Between Groups	0.038	2	0.019	2.067	0.135
	Within Groups	0.593	65	0.009		
	Total	0.631	67			
Ozone	Between Groups	0.054	2	0.027	2.267	0.112
	Within Groups	0.775	65	0.012		
	Total	0.829	67			
Chloride	Between Groups	0.076	2	0.038	2.081	0.133
	Within Groups	1.187	65	0.018		
	Total	1.263	67			
Hardness	Between Groups	289808.563	2	144904.281	7.258	0.001
	Within Groups	1297664.188	65	19964.064		
	Total	1587472.750	67			
Oxygen	Between Groups	23.721	2	11.860	0.329	0.721
	Within Groups	2345.135	65	36.079		
	Total	2368.856	67			
H2O2	Between Groups	111.890	2	55.945	1.175	0.315

	Within Groups	3094.625	65	47.610		
	Total	3206.515	67			
Air Velocity (m/s)						
		Sum of Squares	df	Mean Square	F	Sig.
Nitrate	Between Groups	11.118	2	5.559	0.179	0.837
	Within Groups	2022.764	65	31.119		
	Total	2033.882	67			
Nitrite	Between Groups	0.045	2	0.023	2.505	0.089
	Within Groups	0.586	65	0.009		
	Total	0.631	67			
Ozone	Between Groups	0.026	2	0.013	1.064	0.351
	Within Groups	0.803	65	0.012		
	Total	0.829	67			
Chloride	Between Groups	0.060	2	0.030	1.632	0.204
	Within Groups	1.202	65	0.018		
	Total	1.263	67			
Hardness	Between Groups	154371.924	2	77185.962	3.501	0.036
	Within Groups	1433100.826	65	22047.705		
	Total	1587472.750	67			
Oxygen	Between Groups	25.841	2	12.920	0.358	0.700
	Within Groups	2343.015	65	36.046		
	Total	2368.856	67			
H2O2	Between Groups	5.765	2	2.882	0.059	0.943
	Within Groups	3200.750	65	49.242		
	Total	3206.515	67			
Storage Temperature (°C)						
		Sum of Squares	df	Mean Square	F	Sig.
Nitrate	Between Groups	10.132	2	5.066	0.163	0.850
	Within Groups	2023.750	65	31.135		
	Total	2033.882	67			
Nitrite	Between Groups	0.011	2	0.006	0.577	0.565
	Within Groups	0.620	65	0.010		
	Total	0.631	67			
Ozone	Between Groups	0.039	2	0.020	1.615	0.207
	Within Groups	0.790	65	0.012		
	Total	0.829	67			
Chloride	Between Groups	0.035	2	0.018	0.936	0.397
	Within Groups	1.227	65	0.019		
	Total	1.263	67			
Hardness	Between Groups	382001.569	2	191000.785	10.299	0.000
	Within Groups	1205471.181	65	18545.710		
	Total	1587472.750	67			
Oxygen	Between Groups	94.519	2	47.259	1.351	0.266
	Within Groups	2274.337	65	34.990		
	Total	2368.856	67			
H2O2	Between Groups	0.265	2	0.132	0.003	0.997
	Within Groups	3206.250	65	49.327		
	Total	3206.515	67			
Storage Days						
		Sum of Squares	df	Mean Square	F	Sig.
Nitrate	Between Groups	608.588	3	202.863	9.109	0.000
	Within Groups	1425.294	64	22.270		
	Total	2033.882	67			
Nitrite	Between Groups	0.035	3	0.012	1.258	0.296
	Within Groups	0.596	64	0.009		
	Total	0.631	67			
Ozone	Between Groups	0.051	3	0.017	1.404	0.250
	Within Groups	0.778	64	0.012		
	Total	0.829	67			
Chloride	Between Groups	0.656	3	0.219	23.044	0.000
	Within Groups	0.607	64	0.009		
	Total	1.263	67			
Hardness	Between Groups	285850.750	3	95283.583	4.685	0.005
	Within Groups	1301622.000	64	20337.844		
	Total	1587472.750	67			
Oxygen	Between Groups	664.995	3	221.665	8.326	0.000

H2O2	Within Groups	1703.860	64	26.623		
	Total	2368.856	67			
	Between Groups	2078.868	3	692.956	39.329	0.000
	Within Groups	1127.647	64	17.619		
	Total	3206.515	67			

میزان ترکیبات اکسیدانی فعال در PAW نشده است. هرچند فاکتور سرعت هوای ورودی و فاکتور زمان تیمار با پلاسمای به طور مجزا توانسته‌اند اثر معنادار قوی بر تولید این ترکیبات از خود نشان دهند، اما در مجموع اثر متقابل آن‌ها در برخی شرایط معنادار بوده است. برای مثال افزایش زمان تیمار با پلاسمای افزایش سرعت هوای ورودی توانسته است تفاوت معناداری در کاهش سختی داشته باشد که این نتیجه تحقیقات در زمینه تصفیه پساب و آب توسط پلاسمای سرد را تأیید می‌کند. سرعت هوای در زمان ۱۵ و ۳۰ دقیقه تیمار با پلاسمای سرد، بر سختی و ازن اثر معنادار کاهنده‌ای داشته است.

زمانی که PAW تولید می‌شود، فرآیندهای مختلفی در لایه مرزی آب و پلاسمای رخ می‌دهد؛ مانند انتقال گونه‌های فعال تولید شده در پلاسمای، به آب و بروز برهمکنش‌های شیمیایی بین گونه‌های فعال و مولکول‌های آب (Wende et al., 2019). تخلیه‌های تولید شده درون آب، بسیار فعال و گذرا بوده و فرآیندهای نابودی گونه‌های فعال رخ می‌دهند که اغلب در میدان‌های الکتریکی قوی بروز می‌کنند و باعث تشکیل گونه‌های با عمر کوتاهی مانند یون‌های هیدروکسیل (Khlyustova et al., 2019) و الکترون‌های هیدارتۀ محلول می‌شود (K. Liu et al., 2020). واکنش‌های سریع بعدی بین یون‌های هیدروکسیل و الکترون‌های هیدارتۀ محلول منجر به تولید گونه‌های فعالی مانند ازن و پراکسید هیدروژن می‌شوند. لیو و همکاران (2020) گزارش دادند گونه‌های فعال اکسیژن با افزایش سرعت هوای ورودی کاهش یافتند. آن‌ها این اتفاق را ناشی از این می‌دانستند که هوای سهمی زیادی از فاز گازی گونه‌های فعال را از محفظه با خود برد و باعث کاهش امکان حل شدن آن گونه‌های فعال در آب می‌شود (Wong et al., 2023).

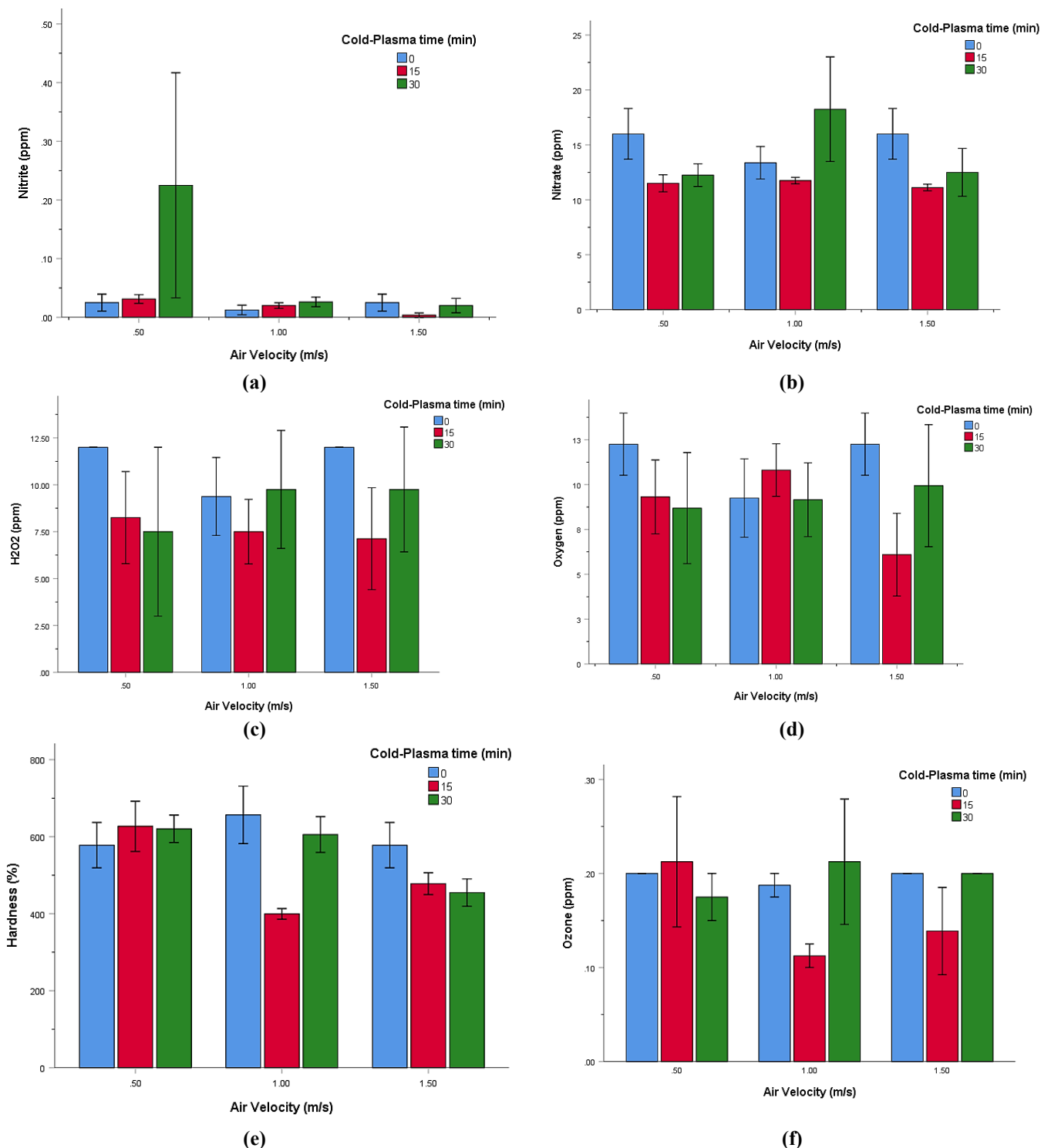
اغلب سیستم‌های مولد پلاسمای سرد در فشار اتمسفر و با هوای معمولی برای تولید آب فعال شده استفاده شده‌اند، زیرا طراحی این سیستم‌ها آسان و نگهداری آن‌ها ارزان است. اما باید خاطر نشان کرد ویژگی‌های فرایند تولید آب فعال شده با پلاسمای از جمله توان، ولتاژ، نوع گاز در بین تیمارهای مختلف متفاوت است. مطالعات زیادی بر بررسی اثر فاکتورهای تولید PAW تمرکز داشته‌اند (Guo et al., 2021; Han et al., 2023; Zhou et al., 2020) همکاران (2018) اثر ولتاژ و زمان تیمار در تولید PAW توسط آب مقطر را بررسی کرده و گزارش دادند با افزایش ولتاژ در تولید PAW، ویژگی کاهش جمعیت میکروبی آن نیز افزایش می‌یابد (Qi et al., 2018). ژائو و همکاران (2020) نیز گزارش دادند که بالاتر بردن ولتاژ و زمان در معرض قرار گرفتن آب، باعث افزایش ویژگی غیرفعال‌سازی میکروبی PAW خواهد شد (Zhao et al., 2020). در این تحقیق مشخص شد که فاکتورهای مورد مطالعه بر ویژگی‌های اکسیدانی آب فعال شده با پلاسمای اثر داشته است. همچنین اثر متقابل زمان تیمار با پلاسمای و فاکتورهای روز نگهداری، دمای نگهداری و سرعت هوای ورودی در شکل‌های ۱ تا ۳ نشان داده می‌شود.

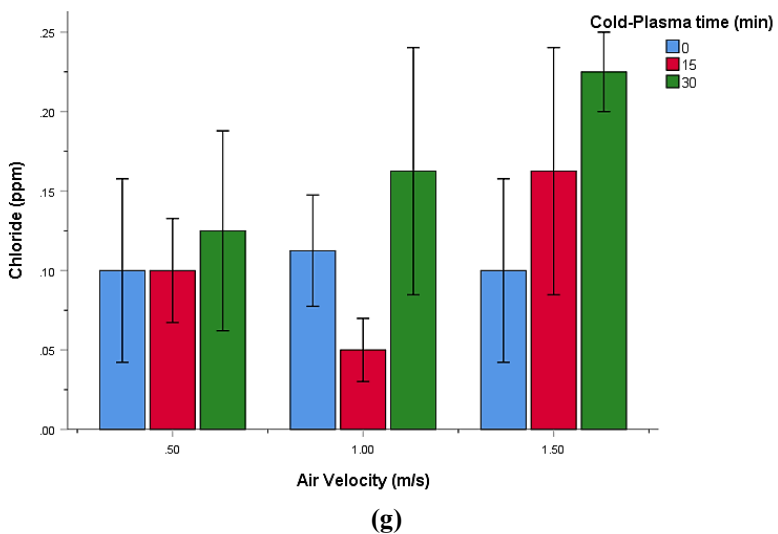
اثر سرعت زمان تیمار با پلاسمای سرد و هوای ورودی بر مقدار ترکیبات فعال

یکی از فاکتورهای مؤثر بر اثربخشی PAW، نرخ جریان گاز است (Wong et al., 2023; Xiao et al., 2023). طبق مطالعات انجام شده، نرخ جریان گاز، همواره رابطه مثبتی با فعالیت اکسیدانی PAW از خود نشان نداده است. در این مطالعه، شکل ۱ نشان می‌دهد اثر متقابل سرعت هوای ورودی و زمان تیمار با پلاسمای باعث تغییرات معنادار در

یا با تولید گازهایی که منجر به برهمکنش با این یون‌ها می‌شوند، این یون‌ها را از دسترس خارج می‌کنند.(Kamgang-Youbi et al., 2009; Zhao et al., 2020)

می‌توان کاهش سختی آب در اثر افزایش زمان تیمار با پلاسمای سرد را ناشی از تولید رادیکال‌های آزاد در آب دانست که می‌تواند یون‌های کلسیم و منزیم را تجزیه کنند





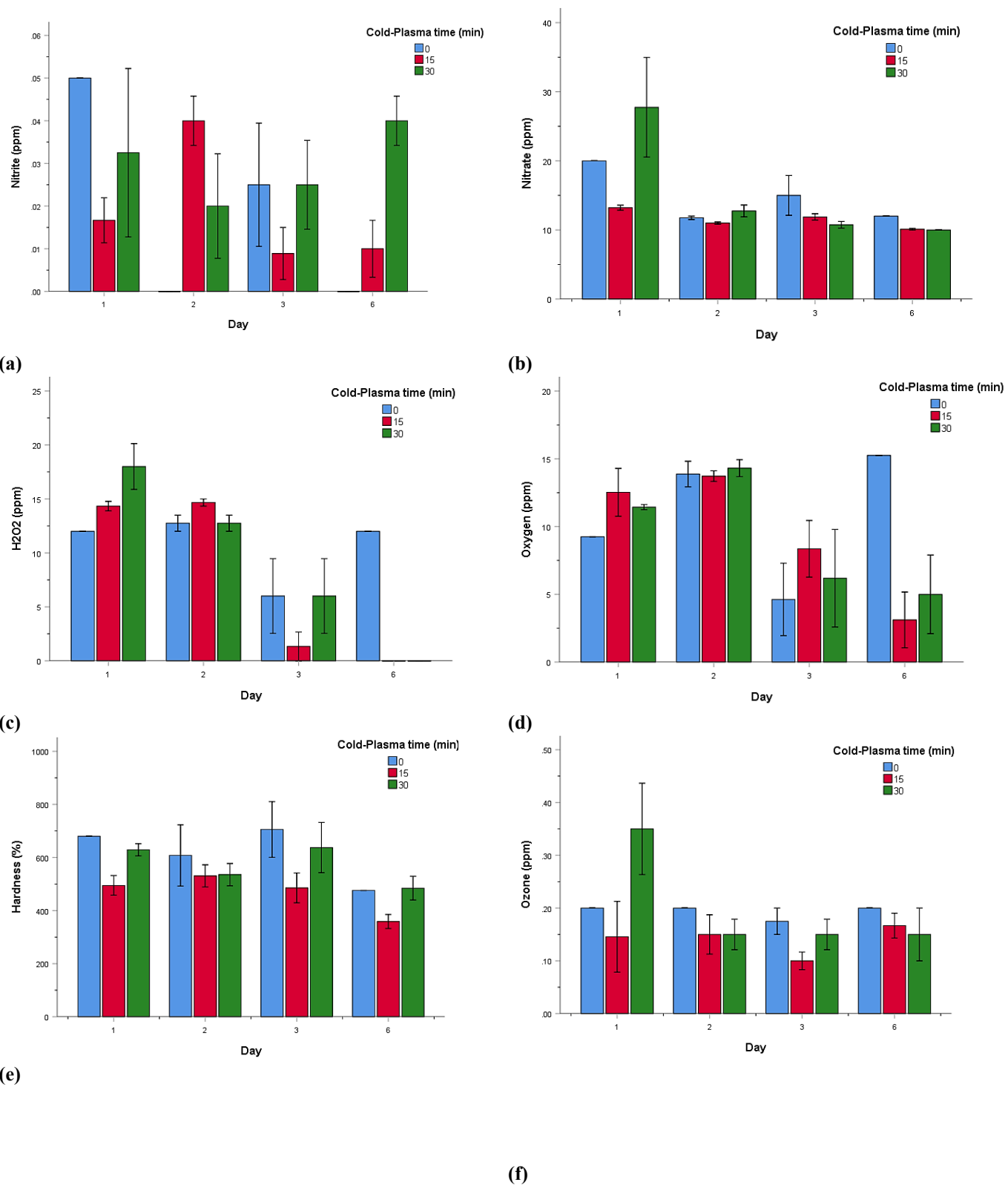
شکل ۱- اثر متقابل زمان تیمار پلاسمای سرد و سرعت هوای ورودی بر میزان محتوای نیتریت (a)، نیترات (b)، پراکسید هیدروژن (c)، اکسیژن (d)، سختی (e)، ازن (f) و کلر (g)

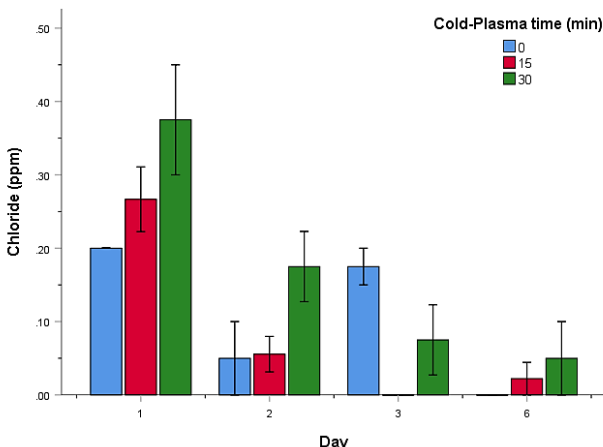
Figure 1- The interaction effect of cold-plasma time and inlet air velocity on Nitrite (a), Nitrate (b), H₂O₂ (c), Oxygen (d), Hardness (e), Ozone (f), and Chloride (g) contents

ثابت مانده است. سرعت کاهش پراکسیدهیدروژن در نمونه‌هایی که ۳۰ دقیقه تیمار پلاسمای سرد را گرفته‌اند، طی شش روز نگهداری بسیار بالا بود. در مورد کلر، در روز اول افزایش زمان تیمار با پلاسما توانسته است میزان آن را افزایش دهد، اما در روزهای بعدی نگهداری، میزان کلر به شکل مستقل از زمان تیمار با پلاسمای سرد، به شدت کاهش یافته است. نیکت و همکاران (۲۰۱۸) گزارش دادند با افزایش زمان تیمار پلاسمای سرد، غلظت پراکسید هیدروژن نیز افزایش می‌یابد و این پایداری طی زمان نگهداری نیز تاحدودی حفظ می‌شود (Niquet et al., 2018).

اثر زمان نگهداری بر مقدار ترکیبات فعال

طبق شکل ۲، با تغییر زمان تیمار پلاسمای سرد، میزان ترکیبات اکسیدانی نمونه‌ها به شکل معناداری تغییر کرده است. این تغییرات طی روزهای نگهداری به خوبی مشهود است و تغییرات هر نمونه در هر روز کاملاً معنادار است. در بین این ترکیبات، پراکسید هیدروژن، نیترات، نیتریت و ازن شاخص فعالیت ضدмیکروبی PAW محسوب می‌شوند (Zhang et al., 2013). با پایش تغییرات این ترکیبات نسبت به تیمار زمان پلاسمای سرد مشخص شد که در روز اول، با افزایش زمان CP، تولید پراکسید هیدروژن، نیترات و ازن افزایش یافته است اما در روز دوم نگهداری میزان آن‌ها کاهش یافته و در مورد نیترات و ازن تا آخرین روز نگهداری





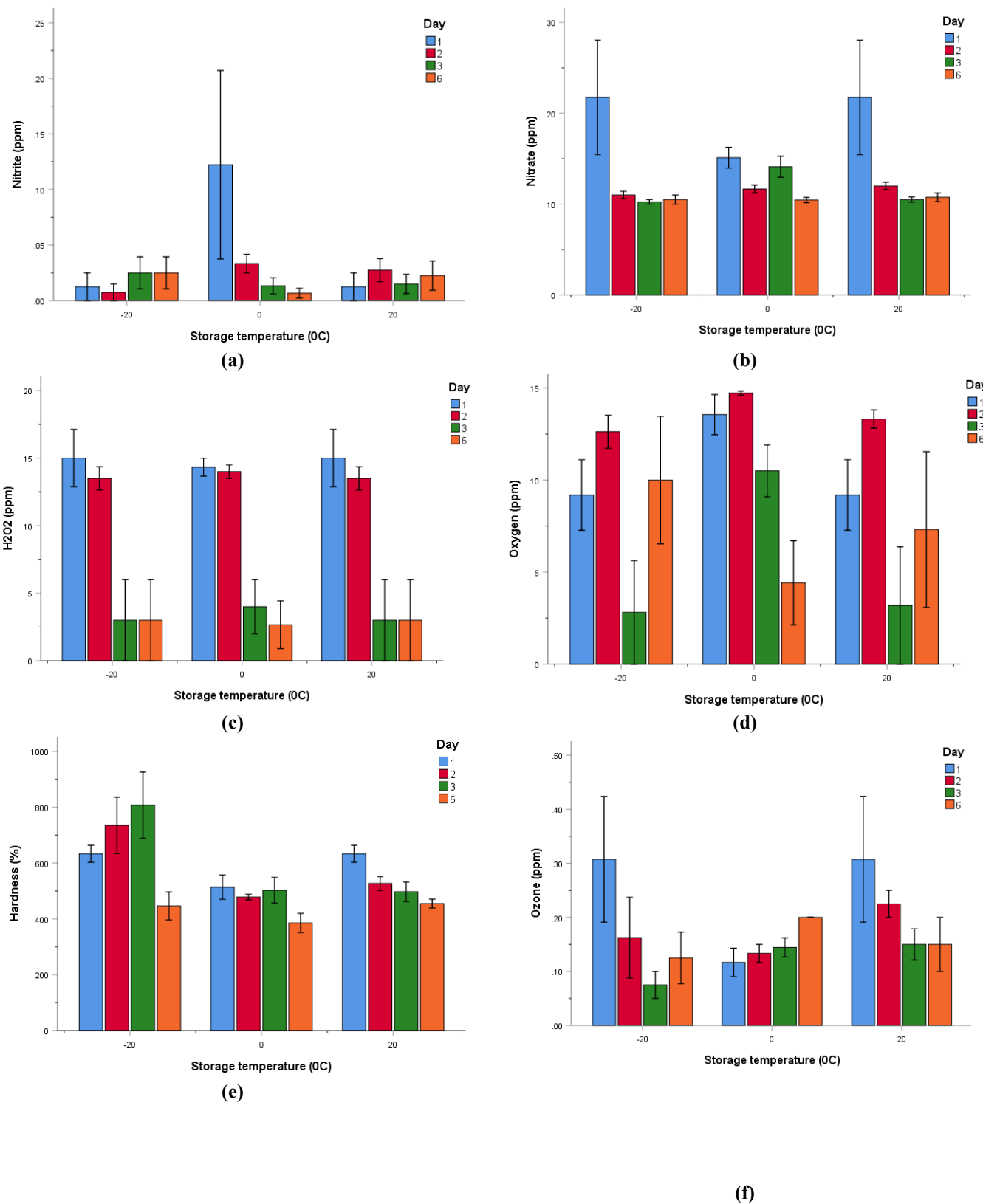
(g)، پراکسید (b)، نیترات (a) بر میزان محتوای نیتریت (PAW) شکل ۲- اثر متقابل زمان تیمار پلاسمای سرد و روزهای نگهداری (g) و کلر (f)، ازن (e)، سختی (d)، اکسیژن (c) هیدروژن (

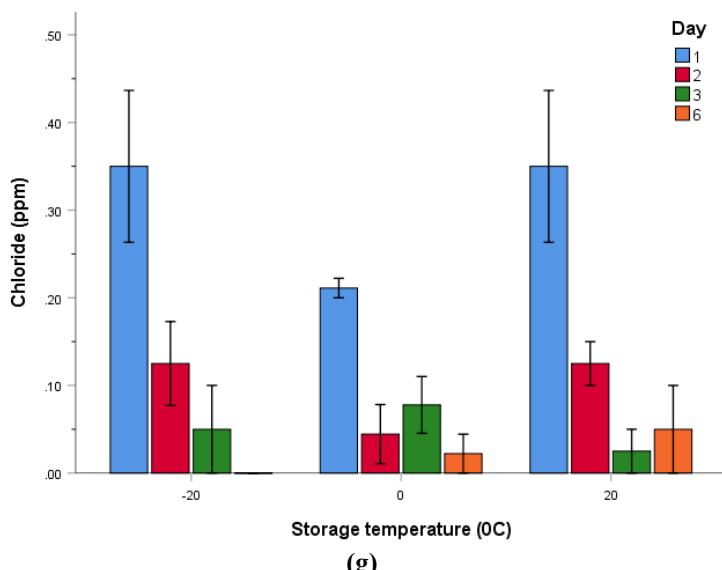
Figure 2- The interaction effect cold-plasma time and storage duration of PAW on Nitrite (a), Nitrate (b), H₂O₂ (c), Oxygen (d), Hardness (e), Ozone (f), and Chloride (g) contents

میزان اکسیژن رابطه معناداری با اثر متقابل زمان و دمای نگهداری از خود نشان نداد اما سختی کل در دمای انجاماد افزایش یافت و در دمای یخچال و محیط، تا روز آخر کاهش معنادار داشت. مقدار ازن که یکی از شاخص‌های بسیار مهم فعال بودن PAW است، در نمونه‌های نگهداری شده در دمای یخچال تا روز ششم افزایش معنادار از خود نشان داد اما در دو دیگر تغییرات آن کاهشی بود. کلر نیز در تمامی دماهای نگهداری دارای روند کاهشی بود. از نی که در آب حل شده است، پایداری زیادی ندارد اما میزان حضور آن به رادیکال هیدروکسیل بستگی دارد (Laurita et al., 1998). رادیکال‌های هیدروکسیل گونه‌های واکنش‌پذیر با عمر کوتاه هستند که پتانسیل اکسیداسیون و احیای بالایی دارد و در حضور مواد آلی موجود در آب، با آنها واکنش داده و رادیکال‌های جدیدی ایجاد می‌کند که باعث بروز واکنش‌های بیشتری می‌شود (Ayala et al., 2014; Herianto et al., 2021; Laurita et al., 2015).

اثر زمان و دمای نگهداری بر مقدار ترکیبات فعال

یکی دیگر از فاکتورهای مهم در کیفیت اکسیدانی PAW دمای نگهداری آن است. یکی از ایده‌های مهمی که امروزه می‌تواند در صنایع غذایی اهمیت بسیار بالایی داشته باشد، امکان تولید و نگهداری این آب برای مدت زمان طولانی تر است. به ویژه اینکه آیا می‌توان این آب را به صورت منجمد نگهداری و حمل کرد یا خیر. به همین دلیل در این مطالعه وضعیت اکسیدانی PAW در سه دمای محیط، یخچال و انجمادی مورد بررسی قرار گرفت. شکل ۳ اثر متقابل زمان و دمای نگهداری نمونه‌های PAW را نشان می‌دهد. طبق این شکل، مقدار نیتریت طی نگهداری در یخچال کاهش معنادار از خود نشان داد. اما نیترات در همه دماهای نگهداری با افزایش زمان نگهداری به طرز معناداری کاهش یافت. همچنین میزان پراکسید هیدروژن در روز اول و دوم در تمامی دماهای نگهداری بالاترین مقدار بود اما تا روز ششم در تمامی دماهای نگهداری روند نزولی از خود نشان داد. این نتایج مطابق با یافته‌های ژنگ و همکاران (۲۰۱۷) می‌باشد (Zheng,)





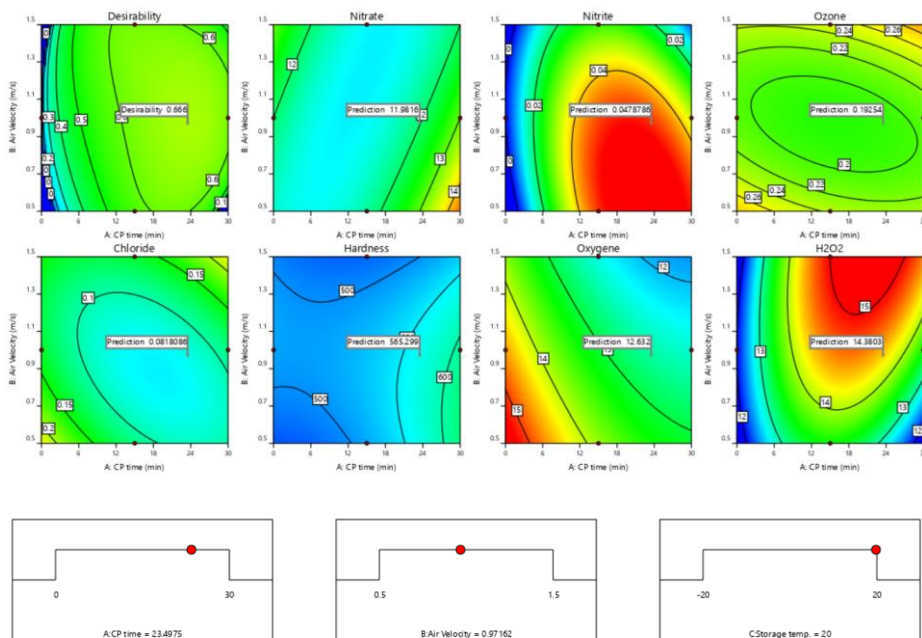
شکل ۳- اثر متقابل زمان و دمای نگهداری PAW بر میزان محتوای نیتریت (a)، نیترات (b)، پراکسید هیدروژن (c)، اکسیژن (d)، سختی (e)، ازن (f) و کلر (g) سختی (d)، ازن (e)، اکسیژن (f) و کلر (g)

Figure 3- The interaction effect of storage time and temperature of PAW on Nitrite (a), Nitrate (b), H₂O₂ (c), Oxygen (d), Hardness (e), Ozone (f), and Chloride (g) contents

نشان داده می شوند. بر این اساس بهترین شرایط فرآوری برای دستیابی به هدف مذکور با سطح حساسیت ۳، عبارت بود از زمان تیمار ۲۲/۵ دقیقه با پلاسمای سرد، سرعت هوای m/s ۰/۹۷ و دمای نگهداری ۲۰°C. به این ترتیب می توان امکان تولید آب فعال شده با پلاسمای سرد با بیشترین کارآیی را ایجاد نمود.

بهینه سازی فرایند تولید PAW

با توجه به اثر فاکتورهای متقابل بر فعالیت اکسیدانی PAW، بهینه سازی شرایط فرآوری با توجه به کاربرد PAW از اهمیت بالایی برخوردار است؛ لذا این کار با کمک نرم افزار دیزاین اکسپرت ورژن ۱۲ با هدف حداکثر کردن فعالیت اکسیدانی PAW و به حداقل رساندن سختی انجام و نتایج در شکل ۴



شکل ۴- بهینه‌سازی تولید آب فعال شده با پلاسمای سرد

Figure 4- The optimization of PAW production

می‌رود، می‌توان برای تهیه و نگهداری PAW برنامه‌ریزی لازم را انجام داد. این نتایج می‌تواند پایه‌گذار کاربردهای آینده آب فعال شده با پلاسمای سرد برای حفظ نکات بهداشتی در صنایع غذایی و کشاورزی شود.

۵- سپاسگزاری:

این مقاله مستخرج از طرح پژوهشی با شماره ۰۲-۱۴۰۳-۰۲ می‌باشد. لذا بابت حمایت‌های مادی و معنوی در اجرای این طرح پژوهشی از معاونت پژوهش و فناوری دانشگاه علوم کشاورزی و منابع طبیعی ساری سپاسگزاری می‌شود.

۶- نتیجه‌گیری:

این مطالعه نشان داد که PAW به عنوان یک جایگزین غیرسمی و دوستدار محیط‌زیست قابلیت بررسی و تولید را خواهد داشت. استفاده از یک مولد تولید پلاسمای سرد و طراحی آزمایشات و بهینه‌سازی شرایط، منجر به تولید آب با بیشترین فعالیت و کمترین میزان سختی خواهد شد. همچنین زمان تیمار با پلاسمای سرد، سرعت هوای ورودی به سیستم، و دمای نگهداری PAW تأثیرات قابل توجهی بر ویژگی‌های آن خواهد داشت که متناسب با نوع کاربردی که از آن انتظار

۷- منابع

- [1] Al-Sharify, Z. T., Al-Sharify, T. A., & al-Azawi, A. M. (2020). Investigative study on the interaction and applications of plasma activated water (PAW). IOP Conference Series: Materials Science and Engineering ,
- [2] Ali, M., Cheng, J.-H., & Sun, D.-W. (2021). Effect of plasma activated water and buffer solution on fungicide degradation from tomato (*Solanum lycopersicum*) fruit. *Food Chemistry*, 350, 129195. <https://doi.org/https://doi.org/10.1016/j.foodchem.2021.129195>
- [3] Ayala, A., Muñoz, M. F., & Argüelles, S . .(٢٠١٤)Lipid peroxidation: production, metabolism, and signaling mechanisms of malondialdehyde and 4-hydroxy-2-nonenal. *Oxidative medicine and cellular longevity*, 2014(1), 360438 .
- [4] Guo, D., Liu, H., Zhou, L., Xie, J., & He, C. (2021). Plasma-activated water production and its application in agriculture. *Journal of the Science of Food and Agriculture*, 101(12), 4891-4899 .
- [5] Guo, J., Huang, K., Wang, X., Lyu, C., Yang, N., Li, Y., & Wang, J. (2017). Inactivation of Yeast on Grapes by Plasma-Activated Water and Its Effects on Quality Attributes. *Journal of Food Protection*, 80(2), 225-230. <https://doi.org/https://doi.org/10.4315/0362-028X.JFP-16-116>
- [6] Hadinoto, K., Astorga, J. B., Masood, H., Zhou, R., Alam, D., Cullen, P. J., Prescott, S., & Trujillo, F. J. (2021) Efficacy optimization of plasma-activated water for food sanitization through two reactor design configurations. *Innovative Food Science & Emerging Technologies*, 74, 102867. <https://doi.org/https://doi.org/10.1016/j.ifset.2021.102867>
- [7] Han, Q.-Y., Wen, X., Gao, J.-Y., Zhong, C.-S., & Ni, Y.-Y. (2023). Application of plasma-activated water in the food industry: A review of recent research developments. *Food Chemistry*, 405, 134797. <https://doi.org/https://doi.org/10.1016/j.foodchem.2022.134797>
- [8] Herianto, S., Hou, C. Y., Lin, C. M., & Chen, H. L. (2021). Nonthermal plasma-activated water: A comprehensive review of this new tool for enhanced food safety and quality. *Comprehensive Reviews in Food Science and Food Safety*, 20(1), 583-626 .
- [9] Hoeben, W., Van Ooij, P., Schram, D., Huiskamp, T., Pemen, A., & Lukeš, P. (2019). On the possibilities of straightforward characterization of plasma activated water. *Plasma Chemistry and Plasma Processing*, 39, 597-626 .
- [10] Hou, C.-Y., Lai, Y.-C., Hsiao, C.-P., Chen, S.-Y .,Liu, C.-T., Wu, J.-S., & Lin, C.-M. (2021). Antibacterial activity and the physicochemical characteristics of plasma activated water on tomato surfaces. *LWT*, 149, 111879. <https://doi.org/https://doi.org/10.1016/j.lwt.2021.111879>
- [11] Julák, J., Hujacová, A., Scholtz, V., Khun, J., & Holada, K. (2018). Contribution to the chemistry of plasma-activated water. *Plasma Physics Reports*, 44, 125-136 .

- [12] Kamgang-Youbi, G., Herry, J. M., Meylheuc, T., Brisset, J. L., Bellon-Fontaine, M. N., Doubla, A., & Naitali, M. (2019). Microbial inactivation using plasma-activated water obtained by gliding electric discharges. *Letters in applied microbiology*, 48(1), 13-18.
- [13] Khlyustova, A., Labay, C., Machala, Z., Ginebra, M.-P., & Canal, C. (2019). Important parameters in plasma jets for the production of RONS in liquids for plasma medicine: A brief review. *Frontiers of Chemical Science and Engineering*, 13, 238-252.
- [14] Laurita, R., Barbieri, D., Gherardi, M., Colombo, V., & Lukes, P. (2015). Chemical analysis of reactive species and antimicrobial activity of water treated by nanosecond pulsed DBD air plasma. *Clinical Plasma Medicine*, 3(2), 53-61.
- [15] Leuratti, C., Singh, R., Lagneau, C., Farmer, P. B., Plastaras, J. P., Marnett, L. J., & Shuker, D. (1998). Determination of malondialdehyde-induced DNA damage in human tissues using an immunoslot blot assay. *Carcinogenesis*, 19(11), 1919-1924.
- [16] Liu, C., Chen, C., Jiang, A., Sun, X., Guan, Q., & Hu, W. (2020). Effects of plasma-activated water on microbial growth and storage quality of fresh-cut apple. *Innovative Food Science & Emerging Technologies*, 59, 102256. <https://doi.org/https://doi.org/10.1016/j.ifset.2019.10.2256>
- [17] Liu, K., Yang, Z., & Liu, S. (2020). Study of the characteristics of DC multineedle-to-water plasma-activated water and its germination inhibition efficiency: The effect of discharge mode and gas flow. *IEEE Transactions on Plasma Science*, 48(4), 969-979.
- [18] Ma, M., Zhang, Y., Lv, Y., & Sun, F. (2020). The key reactive species in the bactericidal process of plasma activated water. *Journal of Physics D: Applied Physics*, 53(18), 185207.
- [19] Milhan, N. V. M., Chiappim, W., Sampaio, A. d. G., Vegian, M. R. d. C., Pessoa, R. S., & Koga-Ito, C. Y. (2022). Applications of plasma-activated water in dentistry: A review. *International Journal of Molecular Sciences*, 23(8), 4131.
- [20] Niquet, R., Boehm, D., Schnabel, U., Cullen, P., Bourke, P., & Ehlbeck, J. (2018). Characterising the impact of post-treatment storage on chemistry and antimicrobial properties of plasma treated water derived from microwave and DBD sources. *Plasma Processes and Polymers*, 15(3), 1700127.
- [21] Qi, Z., Tian, E., Song, Y., Sosnin, E. A., Skakun, V. S., Li, T., Xia, Y., Zhao, Y., Lin, X., & Liu, D. (2018). Inactivation of *Shewanella putrefaciens* by plasma activated water. *Plasma Chemistry and Plasma Processing*, 38, 1035-1050.
- [22] Rathore, V., Patel, D., Butani, S., & Nema, S. K. (2021). Investigation of physicochemical properties of plasma activated water and its bactericidal efficacy. *Plasma Chemistry and Plasma Processing*, 41, 1-11.
- [23] Traylor, M. J., Pavlovich, M. J., Karim, S., Hait, P., Sakiyama, Y., Clark, D. S., & Graves, D. B. (2011). Long-term antibacterial efficacy of air plasma-activated water. *Journal of Physics D: Applied Physics*, 44(47), 472001.
- [24] Wende, K., von Woedtke, T., Weltmann, K.-D., & Bekeschus, S. (2019). Chemistry and biochemistry of cold physical plasma derived reactive species in liquids. *Biological Chemistry*, 400(1), 19-38.
- [25] Wong, K. S., Chew, N. S., Low, M., & Tan, M. K. (2023). Plasma-activated water: Physicochemical properties, generation techniques, and applications. *Processes*, 11(7), 2213.
- [26] Xiang, Q., Fan, L., Li, Y., Dong, S., Li, K., & Bai, Y. (2022). A review on recent advances in plasma-activated water for food safety: Current applications and future trends. *Critical Reviews in Food Science and Nutrition*, 62(8), 2250-2268.
- [27] Xiao, A., Liu, D., & Li, Y. (2023). Plasma-activated tap water production and its application in atomization disinfection. *Applied Sciences*, 13(5), 3015.
- [28] Zhang, Q., Liang, Y., Feng, H., Ma, R., Tian, Y., Zhang, J., & Fang, J. (2013). A study of oxidative stress induced by non-thermal plasma-activated water for bacterial damage. *Applied physics letters*, 102, 1-4.
- [29] Zhao, Y. M., Patange, A., Sun, D. W., & Tiwari, B. (2020). Plasma-activated water: Physicochemical properties, microbial inactivation mechanisms, factors influencing antimicrobial effectiveness, and applications in the food industry. *Comprehensive Reviews in Food Science and Food Safety*, 19(6), 3951-3979.
- [30] Zheng, J. (2017). Inactivation of *Staphylococcus aureus* in water by pulsed spark discharge. *Scientific reports*, 7(1), 10311.
- [31] Zhou, R., Zhou, R., Prasad, K., Fang, Z., Speight, R., Bazaka, K., & Ostrikov, K. K. (2018). Cold atmospheric plasma activated water as a prospective disinfectant: The crucial role of peroxy nitrite. *Green Chemistry*, 20(23), 5276-5284.
- [32] Zhou, R., Zhou, R., Wang, P., Xian, Y., Mai-Prochnow, A., Lu, X., Cullen, P., Ostrikov, K. K., & Bazaka, K. (2020). Plasma-activated water: Generation, origin of reactive species and biological applications. *Journal of Physics D: Applied Physics*, 53(30), 303001.



Scientific Research

Studying the Oxidant Activity and Optimization of Cold Plasma- Activated WaterAzadeh Ranjbar Nedamani^{*1}, Ali Taghavi², Elham Ranjbar Nedamani³

- 1- Assistant Professor, Biosystem Engineering Department, Sari Agricultural Science and Natural Resources University, Sari, Iran.
- 2- M.Sc. Student of Post-Harvest Technology, Biosystem Engineering Department, Sari Agricultural Science and Natural Resources University, Sari, Iran
- 3- Ph.D. in Food Chemistry, Research and Development, Kalleh, Amol, Iran

ARTICLE INFO**Article History:**

Received:2024/11/14

Accepted:2025/3/11

Keywords:

Activated water,

Cold plasma,

Design expert,

Hydrogen peroxide

DOI: 10.22034/FSCT.22.161.214.*Corresponding Author E-
a.ranjbar@sanru.ac.ir**ABSTRACT**

Activated water with cold-plasma has emerged as a non-toxic and environmentally friendly alternative, demonstrating its efficiency against a wide range of pathogens, including bacteria, viruses, and fungi. In this study, tap water was activated using cold plasma generator, employing a plasma reactor consisting of copper and steel electrons, with a voltage of 20 kV and a current of 3 mA at atmospheric air. To produce and optimization of activated water, experimental designs were conducted using Design Expert software version 12, following a Box-Behnken design. The factors were treatment time (0, 15, and 30 min), air injection velocity (0.5, 1, and 1.5 m/s), and storeage temperature (20, 4, and -20 °C). The characteristics of water, including hydrogen peroxide concentration, oxygen levels, total hardness, ozone, nitrate, nitrite, and chlorine, were measured at the days of 0, 1, 2, 3, and 6 to investigate the activation during storage period. The results indicated that all studied factors had a significant effect on the outcomes examined. The interaction effects of these factors also exhibited significant decreasing impact on the results in certain cases. Finally, it was determined that the storage temperature of the environment, prolonged treatment time with cold-plasma, and an air velocity of 1 m/s could yield activated water with superior oxidative properties. The optimized condition for producing activated water was identified as a treatment time of 23.5 min, 0.97 m/s air velocity, and storage temperature of 20°C.